

## Список литературы

- [1] Carpentier C.D., Nitsche R. Mat. Res. Bull. **9**, 1097 (1974).
- [2] Грабар А.А., Высочанский Ю.М., Сливка В.Ю. ФТТ **26**, *10*, 3086 (1984).
- [3] Тербан В.П., Семак А.Д., Грабар А.А. Модель переноса заряда в сегнетополупроводнике  $\text{Sn}_2\text{P}_2\text{S}_6$ . Сборник материалов оптоэлектроники (1991). В. 1.
- [4] Высочанский Ю.М., Фурцев В.Г., Хома М.М., Гурзан М.И., Сливка В.Ю. ЖЭТФ **89**, *3* (9), 939 (1985).
- [5] Довгий Я.О., Китык И.В. ФТТ **33**, *2*, 416 (1991).
- [6] Nitsche R. Wild. Mat. Bull. **5**, *6*, 419 (1970).
- [7] Довгий Я.О., Заморский М.К., Китык И.В. Препринт ФМИ АН УССР. № 122. (1986), 39 с.
- [8] Харрисон У. Электронная структура и свойства твердых тел. М. (1983). Т. 1.
- [9] Хейне В., Коэн М., Уэйр Д. Теория псевдопотенциала. М. (1973).
- [10] Гомонай А.В., Высочанский Ю.М., Грабар А.А., Сливка В.Ю. ФТТ **23**, *12*, 3623 (1981).
- [11] Ворошилов Ю.В., Высочанский Ю.М., Грабар А.А., Потори М.В., Приц И.И., Ризак В.М., Сельковская Л.А., Сливка В.Ю., Яценко А.В. УФЖ **35**, *1*, 71 (1990).
- [12] Влох Р.О., Китык И.В., Грабар А.А. Неорг. материалы **27**, *10*, 2052 (1991).

УДК 535.92:546.65

© Физика твердого тела, том 37, № 6, 1995  
Solid State Physics, vol. 37, N 6, 1995

## ОПТИЧЕСКИЕ ХАРАКТЕРИСТИКИ МОНОКРИСТАЛЛОВ $\text{Ce}_2\text{O}_3$

А.В.Голубков, А.В.Прокофьев, А.И.Шелих

Физико-технический институт им. А.Ф. Иоффе РАН, Санкт-Петербург  
(Поступило в Редакцию 21 октября 1994 г.)

Некоторые особенности окислов и халькогенидов редкоземельных элементов (РЗЭ) определяются вкладом их частично заполненных 4f-электронных оболочек в электронную структуру этих материалов.

Окислы и халькогениды с общей формулой  $\text{LnX}$ , где Ln — РЗЭ, X — кислород, сера и селен, представлены большой группой соединений с металлическим и полупроводниковым характером электрической проводимости. Их электрические, оптические и фотоэмиссионные свойства довольно подробно изучены и в основном объяснимы с учетом 4f-электронных состояний [1].

В полуторных соединениях  $\text{Ln}_2\text{X}_3$  ситуация менее ясна. Эти соединения являются изоляторами, и поэтому, как правило, наиболее исследованы их оптические свойства. При анализе свойств соединений РЗЭ, обусловливаемых влиянием 4f-оболочки, обычно проводится сравнение экспериментальных результатов, полученных для соединений, которые содержат РЗЭ с различной степенью заполнения 4f-оболочки или в которых этой оболочки нет. Например, проводились исследования таких окислов, как  $\text{Ho}_2\text{O}_3$ ,  $\text{Ev}_2\text{O}_3$ ,  $\text{Tm}_2\text{O}_3$ ,  $\text{Lu}_2\text{O}_3$  (от  $4f^{10}$  до  $4f^{14}$ ) и  $\text{Y}_2\text{O}_3$ , не имеющего 4f-электронов [2]. Подобие полученных спектров в области фундаментального поглощения света до 40 eV приводит к выводу о том, что вклад 4f-электронов в этих спектрах явно не обнаружен. Однозначно не решен вопрос о положении

$4f$ -электронных уровней и их вкладе в энергетический спектр полуторных сульфидов  $\text{La}_2\text{S}_3$ ,  $\text{Pr}_2\text{S}_3$ ,  $\text{Nd}_2\text{S}_3$ ,  $\text{Sm}_2\text{S}_3$ ,  $\text{Dy}_2\text{S}_3$  ( $4f^0$ ,  $4f^2$ ,  $4f^3$ ,  $4f^5$  и  $4f^9$  соответственно) [2].

Более определенные результаты получены при изучении соединений церия. Этот элемент расположен в начале ряда РЗЭ, и для него характерны два близких по энергии состояния:  $\text{Ce}^{+3}$  и  $\text{Ce}^{+4}$  ( $4f^1$  и  $4f^0$ ). Эти результаты получены в работах [3,4], где подробно исследовались спектры отражения монокристаллов  $\text{CeO}_2$  в диапазоне энергий 0.003–12 eV. В [5] проводилось сравнение оптических спектров  $\text{CeO}_2$  ( $4f^0$ ) и  $\text{Ev}_2\text{O}_3$  ( $4f^{11}$ ) в области энергий 0.003–40 eV. Показано, что  $\text{CeO}_2$  отличается тем, что в его широкой запрещенной зоне располагается узкая зона  $4f$ -электронных состояний. Результаты согласуются со структурой электронных зон рассматриваемых материалов, рассчитанной в [6,7]. К подобному выводу о заметном вкладе  $4f$ -электронных состояний в электронный спектр соединений мы пришли также в результате исследований ряда полуторных сульфидов и селенидов РЗЭ, включая  $\text{Ce}_2\text{S}_3$  и  $\text{Ce}_2\text{Se}_3$  [8].

Данная работа посвящена исследованиям оптических характеристик полуторного оксида церия  $\text{Ce}_2\text{O}_3$ . По аналогии с рассмотренными выше другими соединениями церия здесь также можно ожидать заметного вклада  $4f$ -электронных состояний в структуру энергетических зон. Этот вклад можно оценить путем сравнения оптических характеристик  $\text{Ce}_2\text{O}_3$  с оптическими характеристиками полуторных окислов других РЗЭ. Последние незначительно отличаются друг от друга, в частности все они имеют ширину запрещенной зоны порядка 5 eV. Наиболее убедительным доказательством особенности положения  $f$ -зоны в  $\text{Ce}_2\text{O}_3$  (над валентной зоной) было бы заметное отличие в величине запрещенной зоны  $\text{Ce}_2\text{O}_3$ .

В данной работе проведены также измерения эффекта Фарадея в  $\text{Ce}_2\text{O}_3$ . Изучение этого эффекта в некоторых стеклах на основе окислов РЗЭ в сульфидах и селенидах показало, что наибольшего его значения следует ожидать для соединений на основе трехвалентного церия [2,8].

## 1. Методика эксперимента

$\text{Ce}_2\text{O}_3$  получен при сплавлении в молибденовом тигле  $\text{CeO}_2$  со стехиометрическим количеством металлического церия. Полученные кристаллизацией расплава монокристаллы были желто-оранжевого цвета (в проходящем свете), имели диаметр 5 mm и длину 10 mm. Они относятся к тригональной системе с параметрами  $a = 3.89 \text{ \AA}$ ,  $c = 6.06 \text{ \AA}$ . Поскольку в кристаллах мы наблюдали шеозоэлектрический эффект, то наиболее вероятно, что  $\text{Ce}_2\text{O}_3$  относится к классу 32. По величине электропроводности это изолятор с  $n$ -типа проводимости, определенной по знаку термоэдс при 300 K.

Лазерный источник света с  $\lambda = 632.8 \text{ nm}$  использовался для измерений эффекта Фарадея (постоянной Верде —  $V$ ) в  $\text{Ce}_2\text{O}_3$  и для определения его показателя преломления с использованием призматических образцов. Измерения проводились при  $T = 300 \text{ K}$ .

## 2. Результаты и их обсуждение

На рис. 1 представлен спектр пропускания монокристалла  $\text{Ce}_2\text{O}_3$  толщиной 0.013 см в интервале длин волн 0.5–16.0  $\mu\text{м}$ . Из положения края поглощения со стороны коротких волн оценена оптическая ширина запрещенной зоны, равная  $E_g \approx 2.4 \text{ eV}$ . Ее величина примерно в два раза меньше, чем  $E_g$  полуторных окислов других РЗЭ.

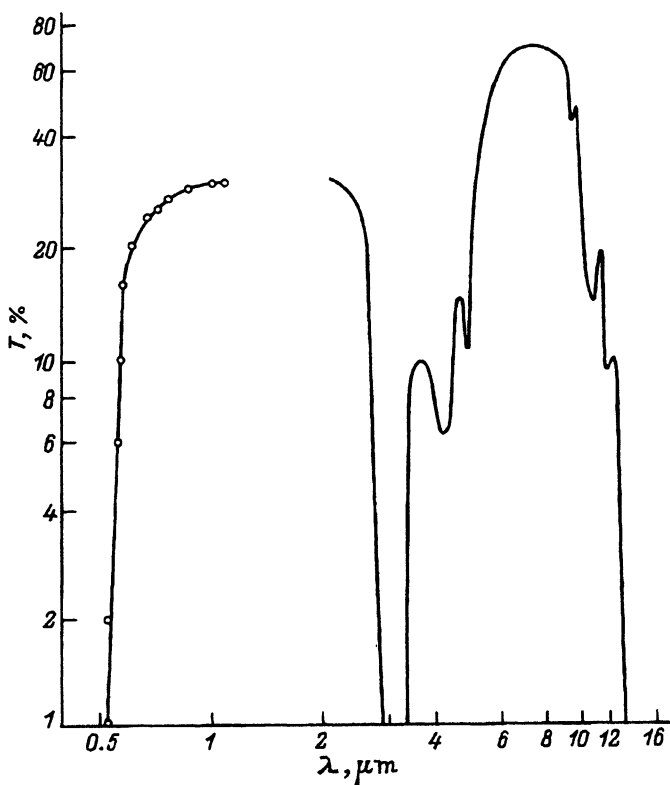


Рис. 1. Спектральная зависимость пропускания вдоль оси с монокристалла  $\text{Ce}_2\text{O}_3$  толщиной 0.013 см.

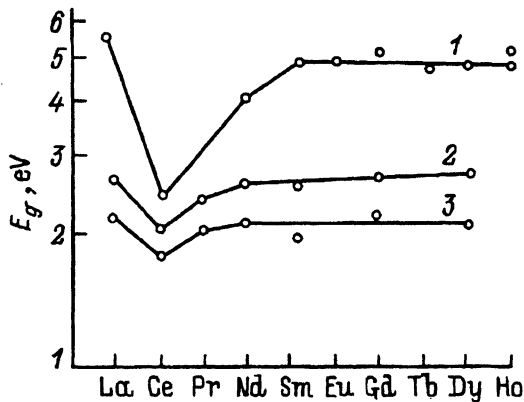


Рис. 2. Зависимость оптической ширины запрещенной зоны полуторных окислов (1), сульфидов (2) и селенидов (3) от порядкового номера РЗЭ.

На рис. 2 приведены зависимости величины  $E_g$  для полуторных окислов, сульфидов и селенидов РЗЭ в зависимости от порядкового номера РЗЭ. В них четко проявляется уменьшение  $E_g$  для всех соединений церия. Эти результаты свидетельствуют о заметном вкладе 4f-электронных состояний церия в формирование электронной структуры полуторных соединений церия. В частности, это проявляется в уменьшении основного параметра зонной структуры, которым является ширина запрещенной зоны, определяемая для этих соединений церия переходами с 4f-уровней в зону проводимости.

В области ИК-спектра поглощения, как видно из рис. 1, наблюдается полоса поглощения в пределах 3–5  $\mu\text{м}$ . Впервые поглощение в этом интервале наблюдалось в полуторном сульфиде церия  $\text{Ce}_2\text{S}_3$  в работе [9]. Поскольку ее происхождение оставалось невыясненным, нами были проведены оптические исследования ряда материалов, содержащих трехвалентный церий  $\text{Ce}^{+3}$  ( $\text{Ce}_2\text{S}_3$ ,  $\text{Ce}_2\text{Se}_3$ ,  $\text{CeF}_3$ ,  $\text{CeAlO}_3$ ) и четырехвалентный церий  $\text{Ce}^{+4}$  ( $\text{Ce}_{0.8}\text{La}_{0.2}\text{O}_{2-x}$ ,  $\text{Ce}_{0.8}\text{Nd}_{0.2}\text{O}_{2-x}$ ). В результате было показано, что эта полоса поглощения характерна для соединений, содержащих ион  $\text{Ce}^{+3}$ . Как видно из рис. 1, это подтверждается и на примере  $\text{Ce}_2\text{O}_3$ . В пределах грушки исследованных материалов ИК-полоса поглощения имеет некоторые различия. По всей видимости, они являются следствием частичной гибридизации f- и р-электронных состояний в этих соединениях и различий кристаллических полей, что требует дальнейшего уточнения.

Из магнитооптических измерений определена постоянная Верде  $\text{Ce}_2\text{O}_3$ , равная  $V = 1.21 \text{ min}/\text{\AA}$  при коэффициенте поглощения  $\alpha = 74 \text{ cm}^{-1}$ . Определен показатель преломления  $n = 2.12$ . Эти данные приведены для  $\lambda = 632.8 \text{ nm}$  в направлении прохождения света через кристалл вдоль оси  $c$ . Полученные значения для  $\text{Ce}_2\text{O}_3$  показывают, что по величине  $V$  он незначительно отличается от полуторных окислов других РЗЭ.

Работа выполнена при финансовой поддержке Российского фонда фундаментальных исследований (93-02-3673).

### Список литературы

- [1] Физические свойства халькогенидов редкоземельных элементов / Под ред. В.П. Жузе. Л. (1973), 303 с.
- [2] Жузе В.П., Шелых А.И. ФТП **23**, 3, 394 (1989).
- [3] Marabelli F., Wachter P. Phys. Rev. **B36**, 2, 1238 (1987).
- [4] Wachter P. Handbook of Physics and Chemistry of Rare Earth Elements **19**, 1 (1994).
- [5] Шелых А.И., Степанова М.И., Мелех Б.Т. ФТТ **29**, 11, 3320 (1987).
- [6] Koelling D.D., Boring A.M., Wood J.H. Solid State Commun. **47**, 4, 227 (1983).
- [7] Costa-Quitana J., Lopez-Aquilar F.J. Physica C **15**, 33, 6741 (1982).
- [8] Прохофьев А.В., Шелых А.И., Голубков А.В., Шаренкова Н.В. Неорганические материалы **30**, 3, 342 (1994).
- [9] Шелых А.И., Жданович Н.С., Мелех Б.Т., Картенко Н.Ф., Филин Ю.Н., Прохофьев А.В., Смирнов И.А. ФТТ **36**, 3, 817 (1994).